

# Simultaneous Influence of Helicity and Compressibility on Anomalous Scaling of the Magnetic Field in the Kazantsev-Kraichnan Model

Martin Menkyna

Oddelenie teoretickej fyziky ÚEF

Súťaž mladých vedeckých pracovníkov ÚEF



*Simultaneous influence of helicity and compressibility on anomalous scaling of the magnetic field in the Kazantsev-Kraichnan model*

E. Jurčišinová, M. Jurčišin, M. Menkyna (33,3%)

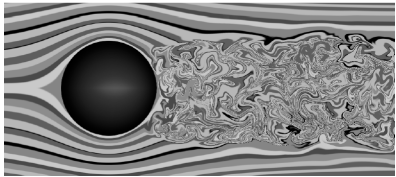
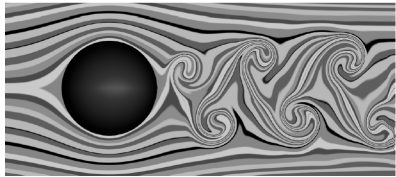
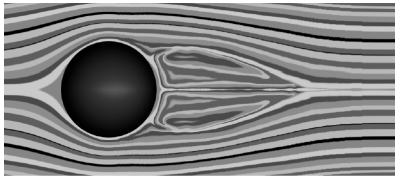
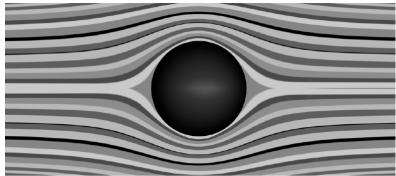
Phys. Rev. E **95**, (2017) 053210

## Zoznam citácií:

*Statistical symmetry restoration in fully developed turbulence: Renormalization group analysis of two models*, N. V. Antonov, N. M. Gulitskiy, M. M. Kostenko, A. V. Malyshev, práca bude publikovaná vo Phys. Rev. E

## Kazantsev-Kraichnanov model

- ▷ model magneto-hydrodynamickej plne rozvinutej turbulencie



## Kazantsev-Kraichnanov model

- ▷ model magneto-hydrodynamickej plne rozvinutej turbulencie
- ▷ magnetické pole  $\mathbf{b}(t, \mathbf{x})$  uvažujeme ako vektorovú prímes, popísanú pomocou

$$\partial_t \mathbf{b} = \nu_0 \Delta \mathbf{b} - (\mathbf{v} \cdot \partial) \mathbf{b} + (\mathbf{b} \cdot \partial) \mathbf{v} + \mathbf{f}, \quad (1)$$

kde  $\partial_t \equiv \frac{\partial}{\partial t}$ ,  $\Delta \equiv \partial^2$  je Laplaceov operátor,  $\nu_0 = \frac{c^2}{4\pi\sigma_0}$  je konštanta magnetickej difúzie pri elektrickej vodivosti  $\sigma_0$

- ▷  $\mathbf{f}(t, \mathbf{x})$  označuje priečny Guassovský biely šum s korelačnou funkciou danou ako

$$D_{ij}^b(t, \mathbf{x}; t', \mathbf{x}') \equiv \langle f_i(t, \mathbf{x}) f_j(t', \mathbf{x}') \rangle = \delta(t - t') C_{ij} \left( \frac{|\mathbf{x} - \mathbf{x}'|}{L} \right)$$

- ▷ presný tvar škálovacej funkcie  $C_{ij}(|\mathbf{x} - \mathbf{x}'|/L)$  nie je dôležitý

## Kazantsev-Kraichnanov model

$$\partial_t \mathbf{b} = \nu_0 \Delta \mathbf{b} - (\mathbf{v} \cdot \partial) \mathbf{b} + (\mathbf{b} \cdot \partial) \mathbf{v} + \mathbf{f}$$

- ▷  $\mathbf{v}(t, \mathbf{x})$  je náhodné, stlačiteľné ( $\partial \cdot \mathbf{v} \neq 0$ ) rýchlosťné vektorové pole, ktoré spĺňa Gaussovskú štatistiku ( $\langle \mathbf{v}(t, \mathbf{x}) \rangle = 0$ ) s párovou korelačnou funkciou

$$D_{ij}(x; x') \equiv \langle v_i(x)v_j(x') \rangle = \delta(t-t')D_0 \int \frac{d^d \mathbf{k}}{(2\pi)^d} \frac{R_{ij}(\mathbf{k})}{k^{d+\varepsilon}} e^{i\mathbf{k} \cdot (\mathbf{x}-\mathbf{x}')},$$

kde  $d$  je dimenziu systému,  $D_0 \equiv g_0 \nu_0$  pozitívna amplitúda a  $g_0$  predstavuje náboj

- ▷  $R_{ij}(\mathbf{k})$  predstavuje projektor definovaný ako

$$R_{ij}(\mathbf{k}) = \delta_{ij} - \frac{k_i k_j}{k^2} + \alpha \frac{k_i k_j}{k^2} + i \varepsilon_{ijs} \rho \frac{k_s}{|\mathbf{k}|},$$

kde  $0 \leq \alpha \ll 1$  je parameter stlačiteľnosti a  $0 \leq |\rho| \leq 1$  určuje mieru narušenia priestorovej parity v systéme.  $|\rho| = 1$  zodpovedá úplnému narušeniu priestorovej symetrie, zatiaľ čo  $|\rho| = 0$  prislúcha kompletne symetrickému prípadu (v štatistickom zmysle)

## Teorém

DeDominicisov-Janssenov teorém hovorí, že stochastický problém (1) je rovnocenný poľovo-teoretickému modelu s množinou troch polí  $\mathbf{v}$ ,  $\mathbf{b}$  a  $\mathbf{b}'$  s účinkom

$$\begin{aligned} S [\mathbf{v}, \mathbf{b}, \mathbf{b}'] = & -\frac{1}{2} \int dx_1 dx_2 v_i(x_1) D_{ij}^{-1}(x_1; x_2) v_j(x_2) \\ & + \frac{1}{2} \int dx_1 dx_2 b'_i D_{ij}^b(x_1; x_2) b'_j(x_2) \\ & + \int dx \mathbf{b}' \cdot [-\partial_t \mathbf{b} + \nu_0 \Delta \mathbf{b} - (\mathbf{v} \cdot \partial) \mathbf{b} + (\mathbf{b} \cdot \partial) \mathbf{v}] \end{aligned} \quad (2)$$

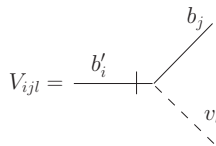
## Poľovo-teoretický model

Model (2) zodpovedá štandardnej Feynmanovskej poruchovej teórii s propagátormi

$$\Delta_{ij}^{bb'}(k) = \langle b_i b'_j \rangle_0 = \frac{P_{ij}(\mathbf{k})}{-\mathrm{i}\omega_k + \nu_0 k^2} = \left( \Delta_{ij}^{b'b} \right)^*, \quad \langle b_i b'_j \rangle_0 = \text{_____} +$$

$$\Delta_{ij}^{vv}(k) = \langle v_i v_j \rangle_0 = \frac{\nu_0 g_0 R_{ij}(\mathbf{k})}{k^{d+\varepsilon}}, \quad \langle v_i v_j \rangle_0 = -\dots$$

kde  $P_{ij}(\mathbf{k}) = \delta_{ij} - k_i k_j / k^2$  je obyčajný priečny projektor a interakčný vrchol má vo Fourierovej reprezentácii  $V_{ijl} = i(k_l \delta_{ij} - k_j \delta_{i,l})$

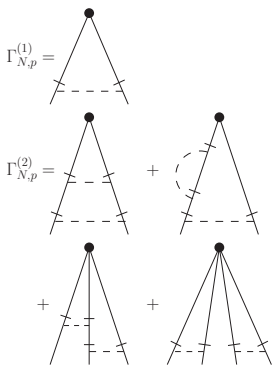


# Analýza pomocou RG

- ▷ zaujímalo nás hlavne správanie sa jedno-časových dvoj-bodových korelačných funkcií magnetického poľa, ktoré majú všeobecný tvar

$$B_{N-m,m}(r) \equiv \left\langle b_r^{N-m}(t, \mathbf{x}) b_r^m(t, \mathbf{x}') \right\rangle,$$

kde  $b_r$  označuje zložku indukcie pozdĺž vektora  $\mathbf{r} = \mathbf{x} - \mathbf{x}'$



Obr. 1: Potrebné Feynmanove grafy.

# Analýza pomocou RG

▷ po dlhšej analýze pomocou metódy operátorového rozkladu dostávame tvar

$$B_{N-m,m}(r) \propto r^{\zeta_{N,m}} = r^{\zeta_{N,m}^{(1)}\varepsilon + \zeta_{N,m}^{(2)}\varepsilon^2}$$

▷ pre obe  $N$  a  $m$  párne alebo obe nepárne

$$\zeta_{N,m}^{(1)} = -\frac{m(N-m)(d-1)[1+\alpha(d+1)]}{(d+2)(d-1+\alpha)}$$

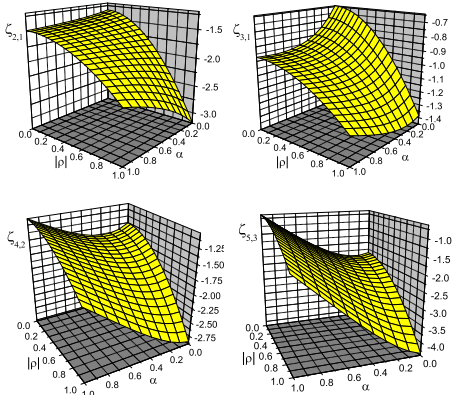
▷ pre párne hodnoty  $N$  a nepárne hodnoty  $m$

$$\zeta_{N,m}^{(1)} = -\frac{(d-1)\{m(N-m)[1+\alpha(d+1)] + d+1+\alpha\}}{(d+2)(d-1+\alpha)}$$

▷ dvojslučkové korekcie  $\zeta_{N,m}^{(2)}$  majú tvar

$$\begin{aligned} \zeta_{N,m}^{(2)} &= -\frac{S_{d-1}}{S_d} \frac{d}{(d+2)(d-1+\alpha)^2} \int_0^1 dx (1-x^2)^{\frac{d-3}{2}} \left\{ \sqrt{1-x^2} \right. \\ &\quad \times [(d-2)D_1(W_1Y_1 + 2\rho^2\delta_{3d}Y_3) + D_2W_2Y_1] \\ &\quad \left. - \frac{2}{d+4} (D_3W_3 + D_4W_4)Y_2 \right\} \end{aligned}$$

## Anomálne škálovanie $B_{N-m,m}(r)$

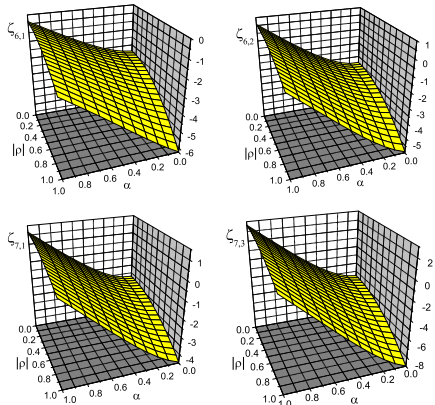


Obr. 2: Závislosť dvoj-slučkových škálovacích exponentov  $\zeta_{2,1}$ ,  $\zeta_{3,1}$ ,  $\zeta_{4,2}$  a  $\zeta_{5,3}$  na  $\alpha$  a  $\rho$  pre  $d = 3$  a  $\varepsilon = 1$ .

- ▷ škálovanie vlastnosti korelačných funkcií  $B_{N-m,m}$  sa stávajú viac anomálne pod vplyvom helicity
- ▷ v rozumnom súlade s najnovšími experimentálnymi výsledkami<sup>a</sup>
- ▷ správanie sa  $\zeta_{2,1}$  ako funkcie  $\alpha$  pre fixované  $|\rho|$
- ▷ jedinečný charakter  $\zeta_{3,1}$  ako funkcie  $\alpha \ll 1$  pre  $|\rho| \approx 1$
- ▷ klesajúce tendencie  $\zeta_{4,2}$  a  $\zeta_{5,3}$  pre dostatočne malé  $\alpha$  a  $|\rho|$
- ▷ pre dostatočne veľké hodnoty  $\alpha$  sa škálovanie exponenty stávajú rastúcimi funkiami  $\alpha$  bez ohľadu na veľkosť  $|\rho|$

<sup>a</sup>D. A. Schaffner et al, Phys. Rev. Lett. **112**, (2014) 165001

## Anomálne škálovanie $B_{N-m,m}(r)$



- ▷  $\zeta_{N,m}$ ,  $N = 6, 7$  sú univerzálnie rastúcimi funkiami  $\alpha$  bez ohľadu na hodnotu parametra  $\rho$
- ▷ aj keď to tu nie je ukázané explicitne, podobné správanie majú všetky škálovacie exponenty pre  $N \geq 8$

Obr. 3: Závislosť dvoj-slučkových škálovacích exponentov  $\zeta_{6,1}$ ,  $\zeta_{6,2}$ ,  $\zeta_{7,1}$  a  $\zeta_{7,3}$  na  $\alpha$  a  $\rho$  pre  $d = 3$  a  $\varepsilon = 1$ .

- ▷ škálovacie vlastnosti  $B_{N,m}(r)$  v rámci Kazantsevovho-Kraichnanovho modelu s narušením priestorovej parity a stlačitelnosti boli skúmané pomocou polovo-teoretickej RG a operátorového rozvoja do druhého rádu poruchovej teórie
- ▷ IČ asymptotické správanie je závislé od  $\alpha$  ale nezávislé od  $\rho$
- ▷ prítomnosť helicity môže výrazne zmenšiť škálovacie exponenty korelačných funkcií magnetického poľa
- ▷ preskúmaný bol takisto aj vplyv stlačitelnosti, ale tá vykazuje zložitejšie správanie sa
  - pre korelačné funkcie nižších rádov sú škálovacie exponenty klesajúce funkcie stlačitelnosti, aspoň pre oblasť  $\alpha \ll 1$  a  $|\rho| \ll 1$
  - avšak pre vyššie rády sú univerzálne rastúcimi funkiami  $\alpha$  bez ohľadu na hodnotu parametra  $\rho$

**Ďakujem za pozornosť!**

$$C_1 = (d+1)(N-p)(d+N+p-2) - 2N(N-1) \quad (3)$$

$$C_2 = -(N-p)(d+N+p-2) + dN(N-1), \quad (4)$$

$$C_3 = (N-2)C_1, \quad (5)$$

$$C_4 = (N-2)[-3(N-p)(d+N+p-2) + (d+2)N(N-1)], \quad (6)$$

and

$$W_1 = 2 + \alpha - \alpha^2 \quad (7)$$

$$W_2 = 2(1-x^2) + \alpha[d(d-3) + 4x^2] - \alpha^2[d(d-1) - 2(1-x^2)], \quad (8)$$

$$\begin{aligned} W_3 = & (1-x^2)(9-5d+4x^2) + \alpha[9(1-2x^2) + x^2(d^2+8x^2) + 5d(1-x^2)] \\ & - \alpha^2(10-3d-11x^2+4x^4), \end{aligned} \quad (9)$$

$$\begin{aligned} W_4 = & -2(1-x^2)^2 + 4\alpha(1-x^2)(d-x^2) \\ & + \alpha^2[d^2(d+1-x^2) - 2(1-x^2)^2 + d(2x^2-3)]. \end{aligned} \quad (10)$$

In addition,

$$Y_1 = x \left[ \arctan \left( \frac{1+x}{\sqrt{1-x^2}} \right) - \arctan \left( \frac{1-x}{\sqrt{1-x^2}} \right) \right], \quad (11)$$

$$Y_2 = \frac{x}{\sqrt{4-x^2}} \left[ \arctan \left( \frac{2+x}{\sqrt{4-x^2}} \right) - \arctan \left( \frac{2-x}{\sqrt{4-x^2}} \right) \right], \quad (12)$$

$$Y_3 = \pi - \arctan \left( \frac{1+x}{\sqrt{1-x^2}} \right) - \arctan \left( \frac{1-x}{\sqrt{1-x^2}} \right). \quad (13)$$

$$D_1 = D_2 = 2m(N - m), \quad D_3 = m(N - m)(3N + 2d - 4), \quad (14)$$

$$D_4 = 3m(N - 4)(N - m) \quad (15)$$

for even values of  $N$  and  $m$ ,

$$D_1 = 2[m(N - m) + d + 1], \quad D_2 = 2[m(N - m) - 1], \quad (16)$$

$$D_3 = m(N - m)(3N + 2d - 4) + (N - 4)(d + 1), \quad (17)$$

$$D_4 = 3(N - 4)[m(N - m) - 1] \quad (18)$$

for even  $N$  and odd  $m$ , and

$$D_1 = D_2 = 2m(N - m), \quad D_3 = (N - m)[m(3N + 2d - 4) - d - 1], \quad (19)$$

$$D_4 = 3(N - m)[m(N - 4) + 1], \quad (20)$$